

10
A-72
937



ОБЪЕДИНЕННЫЙ ИНСТИТУТ ЯДЕРНЫХ ИССЛЕДОВАНИЙ

Лаборатория высоких энергий

Ю.Н. Антонов, И.В. Кожухов, В.П. Рашевский, В.П. Саранцев,
Чжан Чжун-му

937

ГЕОМЕТРИЧЕСКИЕ ХАРАКТЕРИСТИКИ
ПУЧКА НОВОГО ФОРИНЖЕКТОРА
СИНХРОФАЗОТРОНА

Ю.Н. Антонов, И.В. Кожухов, В.П. Рашевский, В.П. Саранцев,
Чжан Чжун-му

937

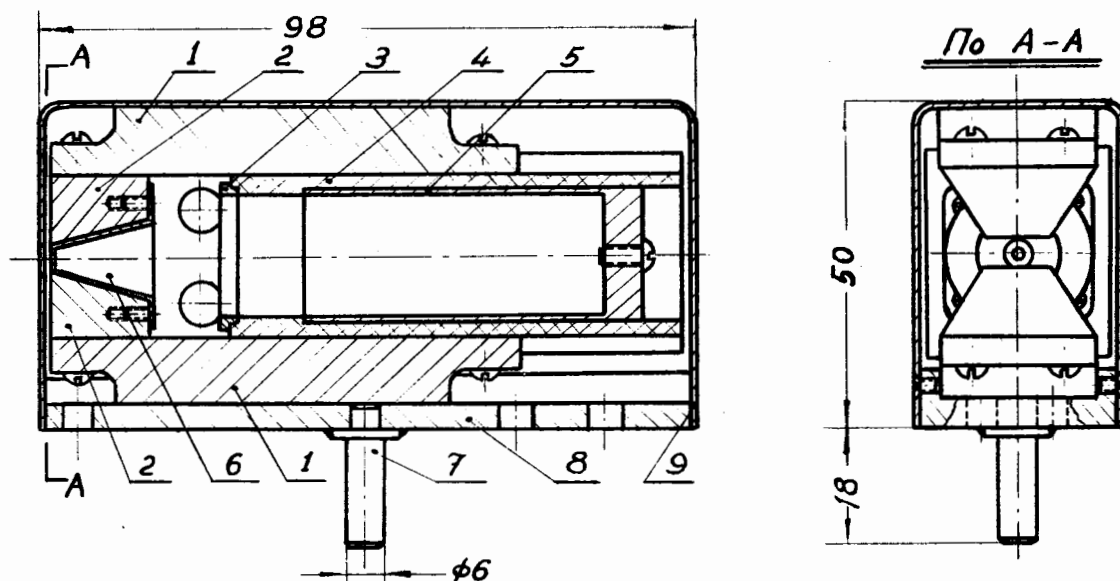
ГЕОМЕТРИЧЕСКИЕ ХАРАКТЕРИСТИКИ
ПУЧКА НОВОГО ФОРИНЖЕКТОРА
СИНХРОФАЗОТРОНА

Объединенный институт
ядерных исследований
БИБЛИОТЕКА

Пучок, инжектируемый в линейный ускоритель, должен удовлетворять с точки зрения его геометрии следующим требованиям: ядро пучка, в котором идет основная часть тока, должно иметь диаметр, не превышающий 5 мм; угловая расходимость пучка не должна быть больше 8-10 миллирадиан (полный угол раствора конуса пучка).

А. Методика измерений

Все геометрические характеристики пучка определялись по кривым распределения его плотности по сечению, снятым по двум взаимно-перпендикулярным направлениям в различных сечениях. Измеряя по таким кривым диаметр ядра пучка, то есть диаметр, в котором идет ~ 50% полного ионного тока, можно определить средний угол расходимости (сходимости) пучка на разных расстояниях от точки фокуса. Распределение плотности пучка по сечению снималось с помощью измерителя, схематический разрез которого приведен на рис.1.



- | | |
|--------------------------|-----------------------|
| 1. Магнит | 6. Диафрагма (латунь) |
| 2. Полюс магнита (ст. 3) | 7. Шток (латунь) |
| 3. Экран (латунь) | 8. Корпус (латунь) |
| 4. Изолятор (оргстекло) | 9. Крышка (медь) |
| 5. Цилиндр (латунь) | |

Рис. 1. Измеритель тока ионов.

Сильный постоянный магнит создавал в районе входной диафрагмы измерителя, имеющей диаметр 1 мм, поле, уводящее выбиваемые с краев диафрагмы электроны, а в районе коллектора ионов - препятствующее уходу с него вторичных электронов. С помощью специального устройства измеритель мог так перемещаться без нарушения вакуума в двух взаимно-перпендикулярных направлениях, что перекрывалось полное сечение ионпровода. Положение измерителя определялось с точностью до 0,5 мм. Координаты оси пучка находились в зависимости от положения измерителя, соответствующего максимальному току с коллектора. На рис. 2 приведены в качестве примера кривые распределения плотности пучка

по его сечению в точке фокуса. По оси абсцисс отложены координаты измерителя в миллиметрах, соответствующие горизонтальному (x) и вертикальному (y) перемещению коллектора, по оси ординат - ионный ток на коллектор в относительных единицах.

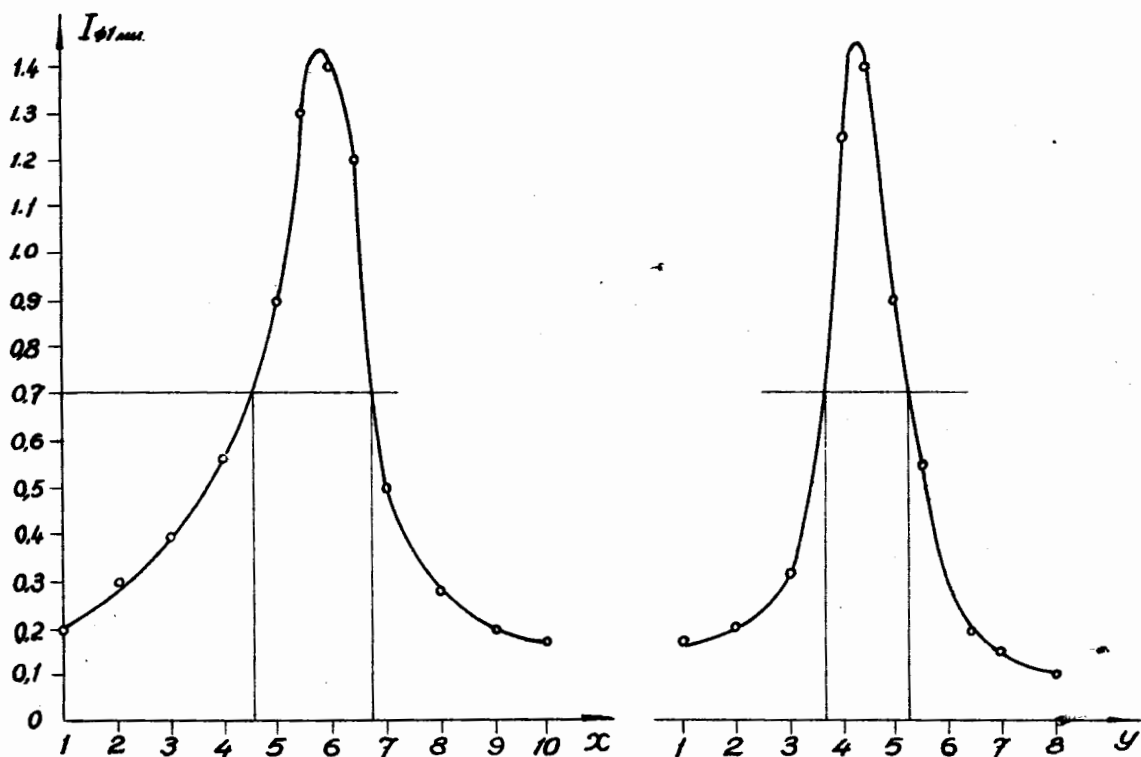


Рис. 2. Распределение плотности пучка по двум взаимно-перпендикулярным направлениям в точке фокуса.

Следует заметить, что данная методика позволяет оценить лишь некоторый средний угол, так как, во-первых, в проекции пучка на произвольную плоскость, параллельную его оси, траектории частиц отнюдь не являются прямыми линиями и, во-вторых, фокусирующая система форинжектора имеет довольно значительную абберацию, что приводит к некоторой условности в определении положения точки фокуса. Эти замечания хорошо иллюстрируют приводимые ниже экспериментальные данные.

Наконец, надо отметить, что из-за имеющейся асимметрии в распределении плотности пучка по сечению, объясняемой несовпадением оптической и электрической осей ускорительной трубки, оценка части пучка, идущей в определенном диаметре, по соответствующим одномерным кривым может быть проведена лишь приблизительно, с точностью $\sim 15\%$. Точнее такую оценку можно провести, снимая полное распределение плотности пучка по его сечению и производя численное интегрирование по интересующей нас области. Пример такого распределения дан на рис. 3; за начало координат принято положение оси пучка. Хорошо видно, что линии равной плоскости имеют эллипсоидную форму.

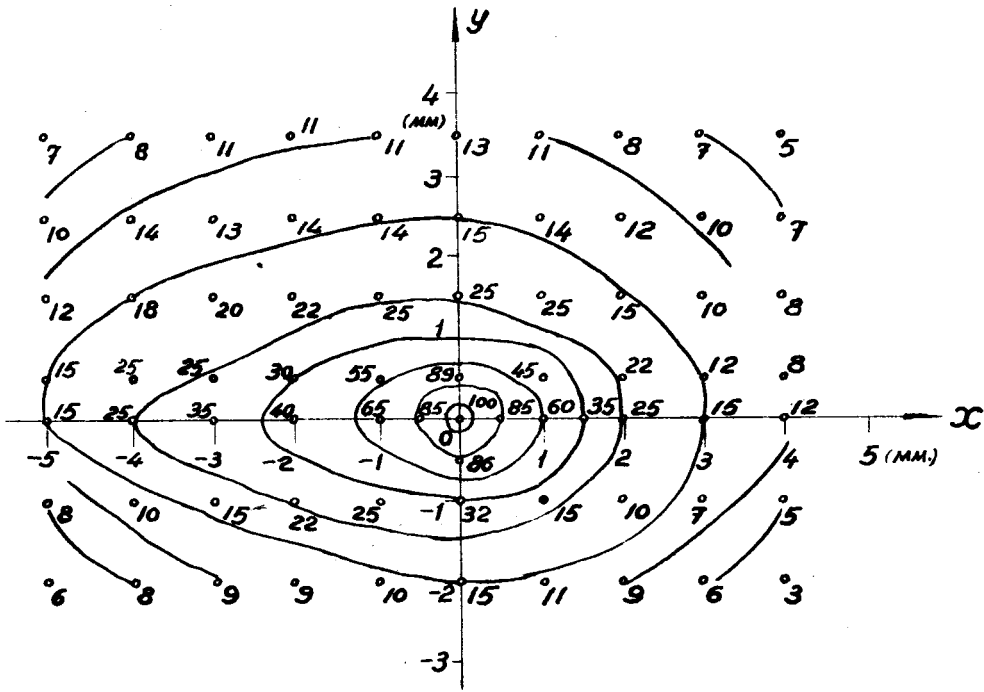


Рис. 3. Полное распределение плотности пучка по его сечению.

Б. Некоторые вопросы движения пучка в свободном от поля пространстве

Рассмотрим движение пучка в пространстве, потенциал которого в отсутствие пучка постояен и равен $U_0 = U_{\text{фи}}$ относительно источника ионов. Считаем, что пучок, сила тока которого i_0 , движется вдоль оси z , причем на входе в эквипотенциальную область при $z=0$ пучок сходящийся, угол сходимости α_0 , радиус пучка при $z=0$ $r|_{z=0} = r_0$. Очевидно, что в этом случае пучок будет сходитьсся до некоторого r_{min} , после чего под действием сил кулоновского расталкивания начнет расходиться. Поставим задачу определить радиус пучка как функцию z , т.е. радиус пучка в любом его сечении; это даст возможность описать движение пучка как до, так и после точки фокуса.

Сделаем следующие упрощающие предположения:

а) распределение плотности пучка по сечению примем постоянным; при этом для центральных областей пучка, в которых идет основная часть тока, мы не делаем большой ошибки, так как кривые распределения плотности резко спадают с радиусом;

б) считаем, что все ионы имеют одну и ту же аксиальную скорость $v_z \approx v_0$; это предположение вполне правомочно, так как в нашем случае угол сходимости α весьма мал ($\sim 10^{-3}$ рад.), очевидно, $v_0 = \sqrt{\frac{2eU_0}{m}}$;

в) на оси пучка ионы имеют $\alpha=0$, с увеличением радиуса α равномерно увеличивается до α_0 при $r=r_0$; иначе говоря, радиальная компонента скорости иона пропорциональна его расстоянию от оси, то есть радиусу.

Сделанные предположения позволяют рассматривать задачу в одномерном случае и свести ее к нахождению траектории внешнего иона.

Так как внешние поля отсутствуют, уравнение движения будет иметь весьма простой вид:

$$m r = -e E_r, \quad (1)$$

где E_r - радиальная компонента напряженности поля пространственного заряда пучка.

Значение E_r на границе пучка найдем, воспользовавшись теоремой Гаусса для потока индукции, создаваемого ионами пучка, находящимися между z и $z + dz$:

$$2\pi r \epsilon_0 E_r dz = \pi r^2 \rho_{(z)} dz, \quad (2)$$

где ϵ_0 - диэлектрическая постоянная пространства, в котором движется пучок ($\epsilon_0 = 1$); $\rho_{(z)}$ - плотность пространственного заряда пучка в сечении z .

Считая ток пучка заданным и равным i_0 , учитывая предположение а), находим

$$\rho(z) = \frac{i_0}{\pi r^2 v_z} \approx \frac{i_0}{\pi r^2 v_0}. \quad (3)$$

Таким образом

$$E_r = -\frac{r \rho_{(z)}}{2\epsilon_0} = -\frac{i}{2\pi r \sqrt{2e} \frac{U_0}{m}} \quad (4)$$

и

$$m r = -\frac{e i_0}{2\pi r \sqrt{2e} \frac{U_0}{m}} \quad (5)$$

$$r = -\frac{e}{m} \frac{i_0}{2\pi r \sqrt{2e} \frac{U_0}{m}} \quad (5)$$

Силой электромагнитного взаимодействия линейных токов в нашем случае можно пренебречь, так как она в $\frac{1}{\beta^2}$ раз меньше силы кулоновского расталкивания частиц пучка ($\beta \approx 0,03$).

Преобразуем (5), учитывая, что $r = r(z)$ и, следовательно,

$$\frac{d^2 r}{dt^2} = \frac{d^2 r}{dz^2} \left(\frac{dz}{dt}\right)^2 + \frac{dr}{dz} \frac{d^2 z}{dt^2}.$$

Так как $v_z = \frac{dz}{dt} = v_0 = \text{const}$, то $\frac{d^2 z}{dt^2} = 0$ и

$$\frac{d^2 r}{dz^2} = -\frac{i_0}{4\pi r U_0 \sqrt{2e} \frac{U_0}{m}}. \quad (6)$$

Уравнение (6) дает возможность определить

$$r_{min} = r_0 \exp(-M^2 \text{tg}^2 \alpha_0) \quad (7)$$

и

$$z = M r_0 \exp(-M^2 \text{tg}^2 \alpha_0) \int_M^{\frac{z}{M}} \exp(N^2) \frac{dr}{r N}, \quad (8)$$

где

$$M = \left(\frac{2\sqrt{2} \pi \sqrt{\frac{e}{m}} U_0^{3/2}}{i_0} \right)^{1/2}$$

$$N = \sqrt{\ln \frac{r}{r_0} + M^2}.$$

Знак "-" в верхнем пределе интеграла правой части уравнения (8) соответствует случаю сходящегося пучка.

Для расчета гораздо удобнее пользоваться приближенной формулой:

$$z \approx 4,97 r_0 \frac{U_0^{3/2}}{i_0} \int_1^R \frac{dR}{\sqrt{N_n R}} \quad (9)$$

где U_0 - скорость пучка в киловольтах, $R = \frac{r}{r_0}$,
 i_0 - ток пучка в миллиамперах.

В. Измеренные геометрические характеристики пучка

На рис. 4-7 приведены траектории крайних частиц ядра пучка, построенные для разных положений точки фокуса по оси z . Выход трубки соответствует $z=0$. Кривая рис. 7 показывает, что при фокусировке пучка на очень большие расстояния линейные размеры его в точке фокуса становятся настолько большими, что перестают удовлетворять условиям инжекции в линейный ускоритель, хотя угол сходимости пучка остается очень малым. Кривые рис. 4-6 относятся к случаям расходимости пучка после точки фокуса при фокусировке пучка на разные расстояния от выхода ускорительной трубки. Из рассмотрения приведенных данных следует, что оптимальным является наименьшее расстояние между выходом ускорительной трубки и входом линейного ускорителя.

Пунктирные кривые на рис. 4 и 5 соответствуют движению пучка, рассчитанному по формуле (9). Измеренная расходимость пучка несколько меньше, чем это следует из соотношений (8) и (9); это можно объяснить частичной компенсацией пространственного заряда пучка током встречных вторичных электронов. В пользу этого предположения свидетельствует тот факт, что ионизация протонами при их прохождении в атмосфере водорода наиболее эффективна при энергиях больших 10^5 эв.

Измерения показывают, что при фокусировке пучка на небольшие расстояния (до 1500-2000 мм) от выхода трубки распределение плотности пучка по его сечению симметрично по z относительно точки фокуса. Такой характер движения частиц пучка непосредственно следует из (8): при $r \rightarrow 0 \frac{d^2 r}{dz^2} \rightarrow \infty$, то есть нет пересечения оси пучка частицами и проекция пучка на производную плоскость, параллельную оси z , имеет вид, приведенный на рис. 8 а). С ростом расстояния до точки фокуса симметрия нарушается и при фокусировке пучка на расстояния $z_0 \geq 4000$ мм соответствующая проекция принимает вид, показанный на рис. 8 б). Такой характер движения частиц пучка объясняется, по-видимому, тем, что при больших расстояниях, проходимых протонами в ионопроводе, существенным

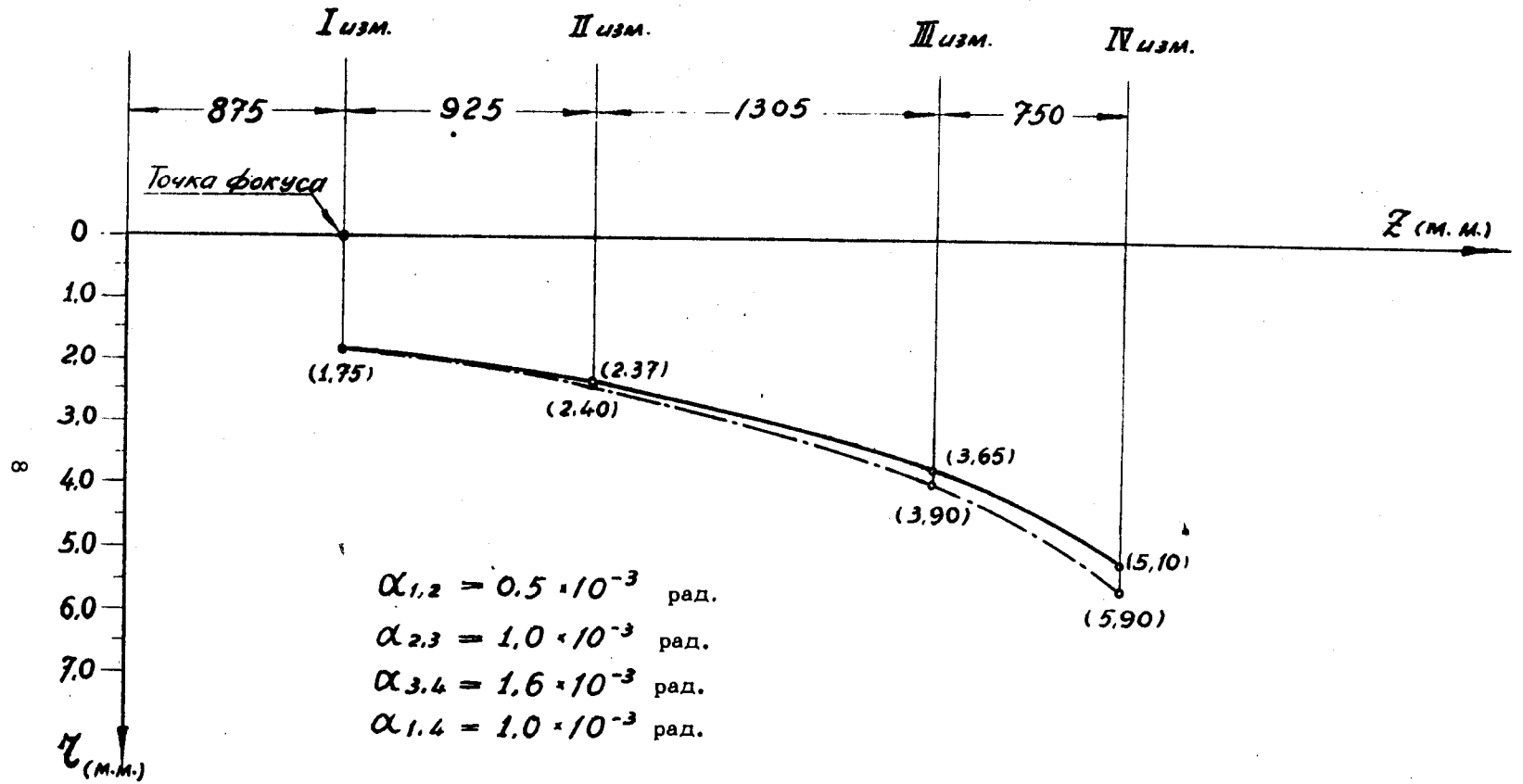


Рис. 4. Расходимость пучка после фокуса для $z_0 = 875$ мм.

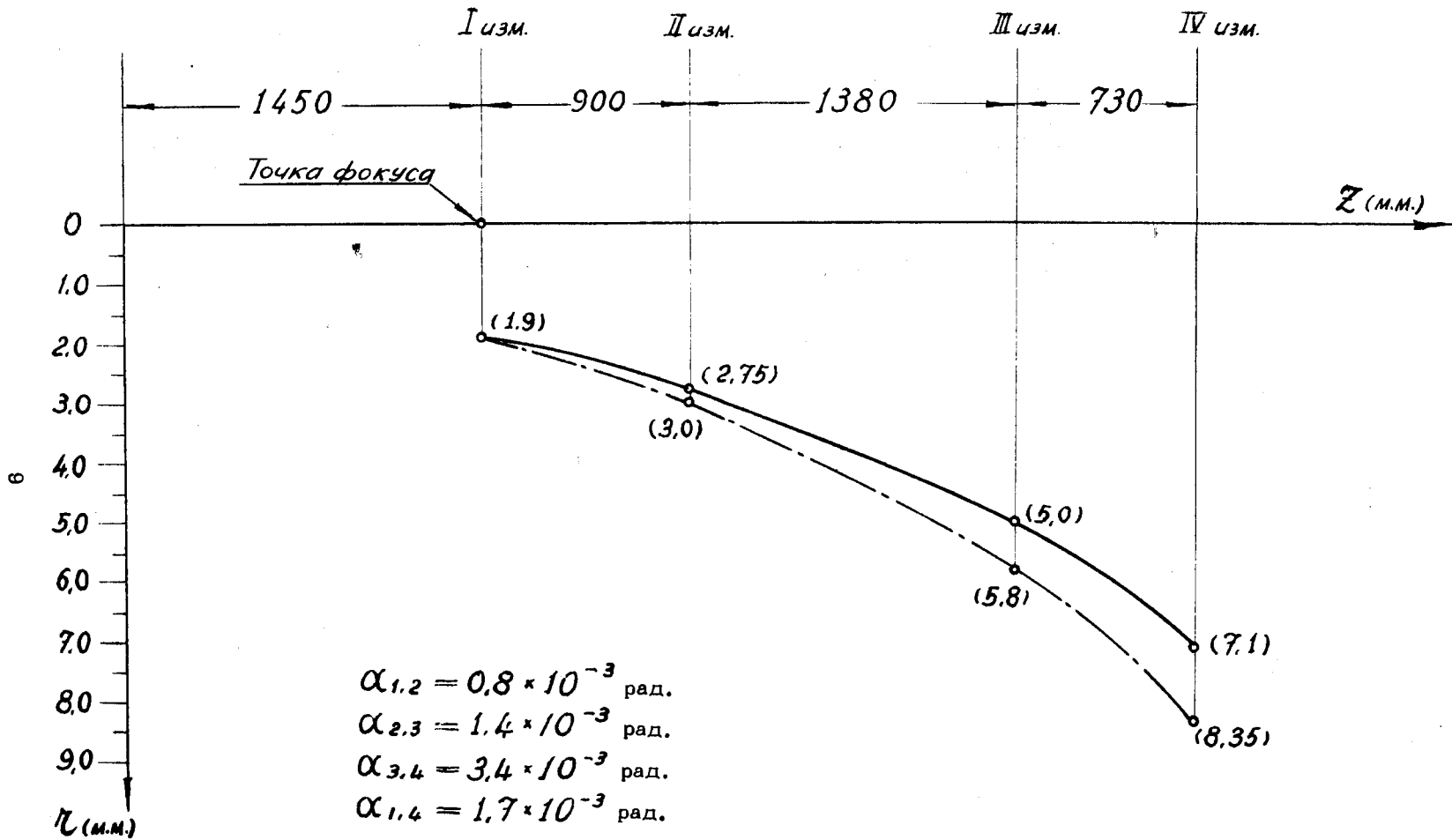


Рис. 5. Расходимость пучка после фокуса для $z_0 = 1450$ мм. Пунктирные кривые рассчитаны по формуле (9).

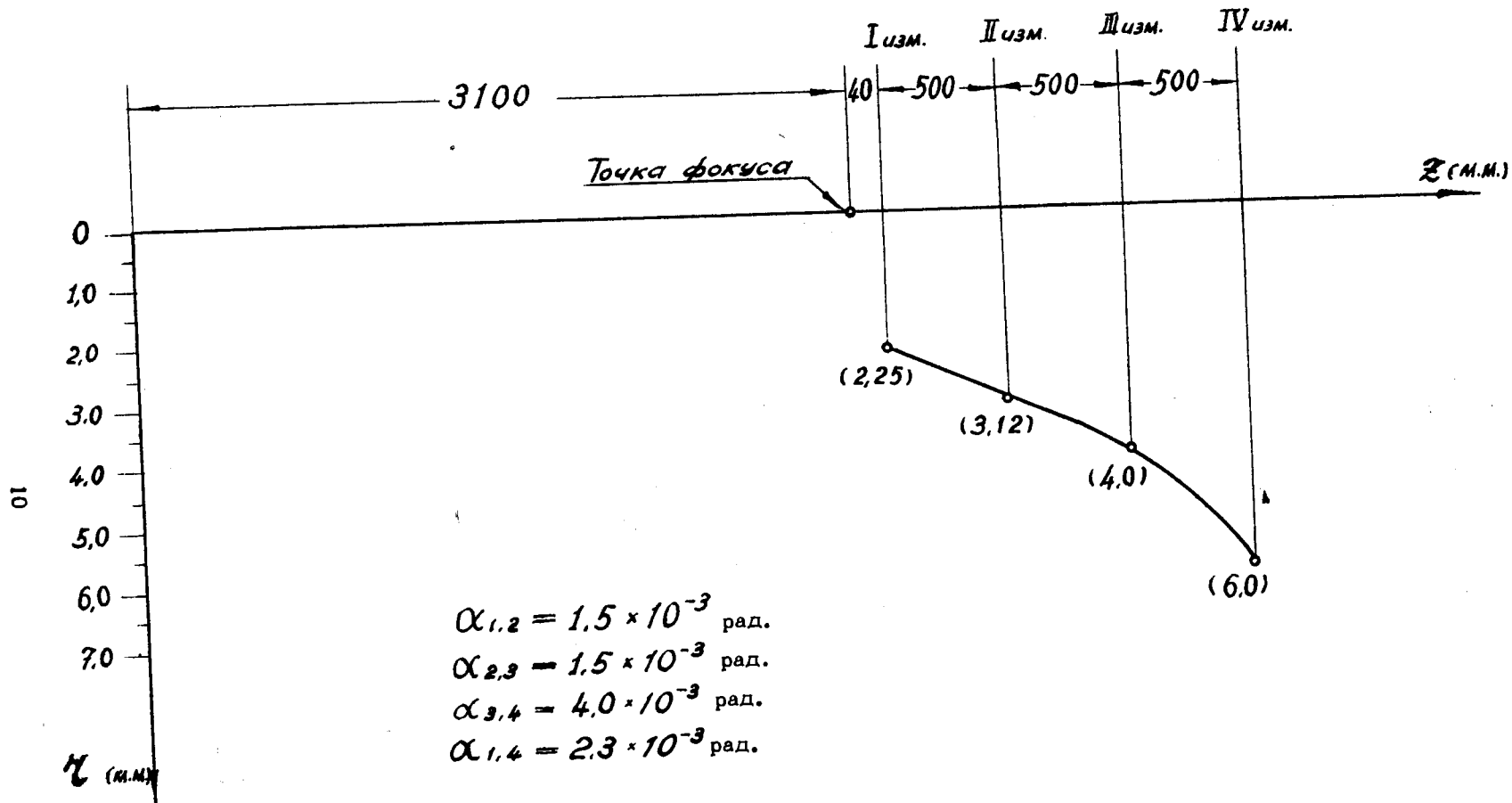


Рис. 6. Расходимость пучка после фокуса для $z_0 = 3100$ мм.

Рис. 6. Расходимость пучка после фокуса для $z_0 = 3100$ мм.

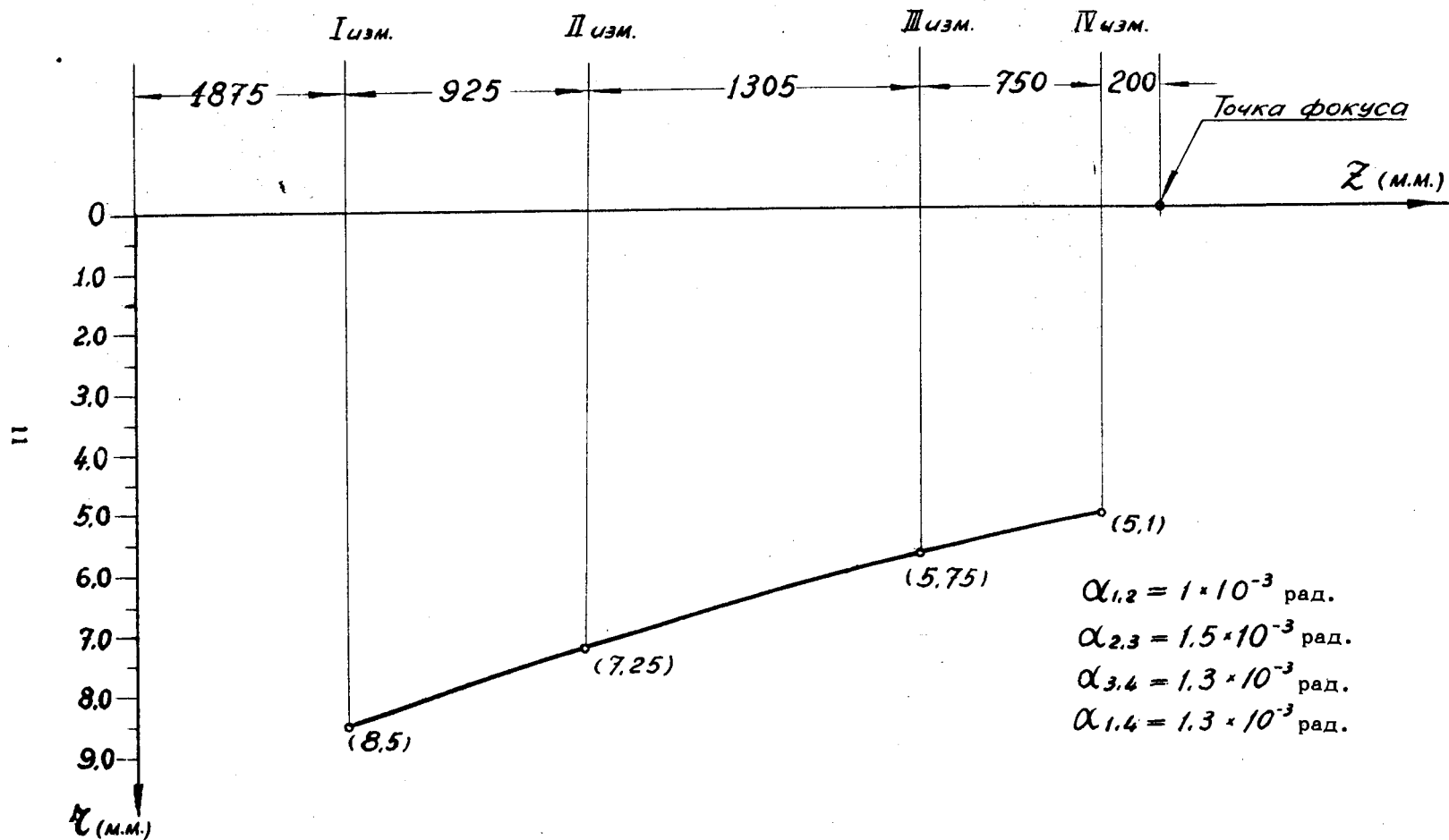


Рис. 7. Сходимость пучка до фокуса для $z_0 = 5055$ мм.

$$\kappa_1 = \kappa_2$$

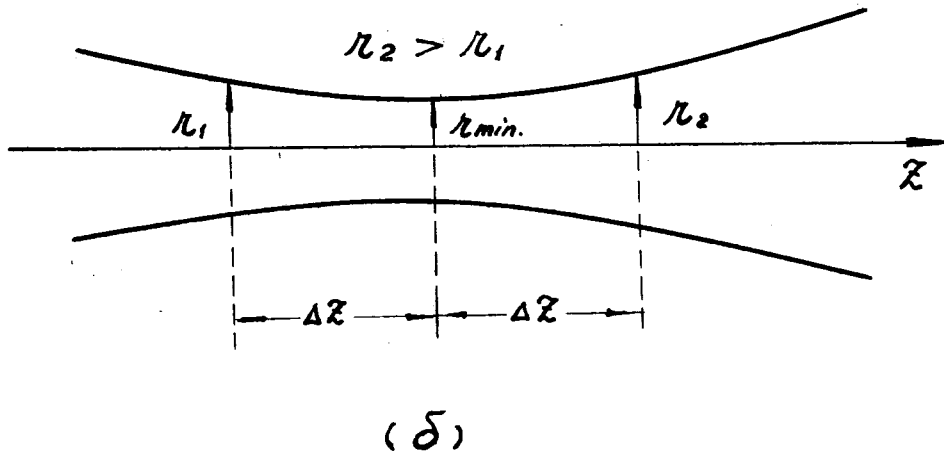
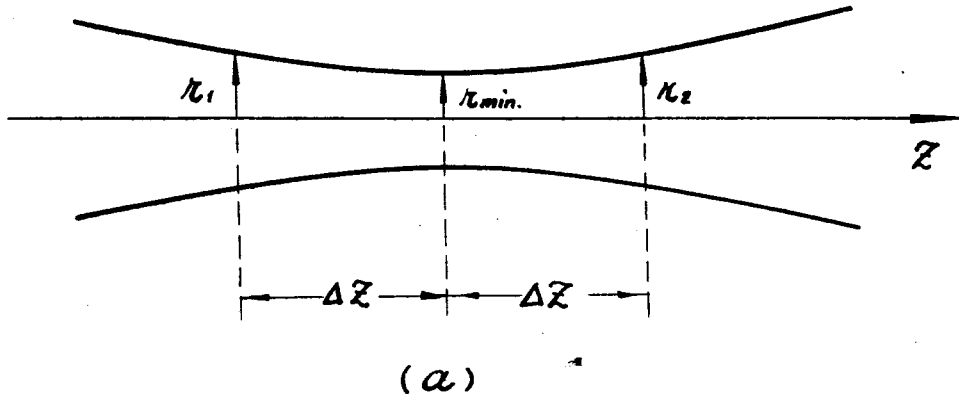


Рис. 8.

становится вклад многократного рассеяния на остаточном газе. Для среднего угла многократного рассеяния имеем:

$$\langle \theta \rangle \approx \frac{E_s \sqrt{t}}{\sqrt{2\rho^2 \beta^2}}, \quad (10)$$

где $E_s = 2,1 \cdot 10^7$ эв, $\rho^2 \beta^2 \approx 4E_0^2$ ($E_0 \approx 6, \cdot 10^5$ эв), $t = 34$ г/см² (остаточный газ — воздух).

Учитывая, что 1 мм рт. ст. соответствует 1,36 г/см² и что рабочий вакуум в ионоприводе $\sim 1 \cdot 10^{-5}$ мм рт.ст., из (10) получаем:

$$\langle \theta \rangle \approx \frac{2,1 \cdot 10^7}{2 \cdot 6 \cdot 10^5} \sqrt{\frac{1,36 \cdot 1 \cdot 10^{-5}}{2 \cdot 34}} = 7 \cdot 10^{-3}.$$

С ростом расстояния z_0 от выхода трубки до точки фокуса растет r_{min} . Это следует и непосредственно из (7), так как увеличение z_0 соответствует уменьшению угла

сходимости. Начиная с некоторых z_0 , вообще не удается получить отчетливого фокуса, не прибегая к помощи дополнительных фокусирующих устройств. В работе ^{12/} приводилось значение $z_0 = z$, критическое для данной установки; оно равно ~ 4500 мм.

Из сказанного выше видно, что при расстоянии между ускорительной трубкой и линейным ускорителем не более 2-3 метров фокусирующая система форинжектора вполне обеспечивает геометрические характеристики протонного пучка, удовлетворяющие условиям инжекции в линейный ускоритель.

В заключение авторы пользуются случаем поблагодарить М.Ф.Васильева и П.Ф.Черняева, принимавших участие в измерениях.

Л и т е р а т у р а

1. Н.С.Зинченко. Курс лекций по электронной оптике. Изд. Харьковского университета, 1961.
2. Ю.Н.Антонов, Л.П.Зиновьев, И.В.Кожухов, В.П.Рашевский, В.П.Сарапцев, Чжан Чжунму. Фокусировка и юстировка пучка инжектора линейного ускорителя. Препринт ОИЯИ, Р-885, Дубна, 1962.

Рукопись поступила в издательский отдел
3 марта 1962 года.